

فرآیندهای نوین در مهندسی مواد

ma.iaumajlesi.ac.ir

ارزیابی خواص فتوکاتالیزوری و ضد باکتری نانوکامپوزیت $ZnO-CuO$ تولید شده به روش سل-ژل

سیده زهرا انوری^{۱*}، محمد حاجب^۲، محمود فاضل نجف‌آبادی^۱

۱- استادیار، گروه مهندسی مکانیک، دانشگاه پیام نور، تهران، ایران.

۲- فارغ‌التحصیل کارشناسی ارشد، دانشگاه پیام نور، تهران، ایران.

ari@pnu.ac.ir *

چکیده

در این تحقیق نانوذرات ZnO , CuO و نانوکامپوزیت $ZnO-CuO$ با روش سل-ژل سنتز شد. ویژگی‌های محصولات سنتز شده با استفاده از آزمون‌های XRD, DRS-UV و FESEM ارزیابی شد. نتایج تجزیه و تحلیل XRD نشان داد که نانوذرات ZnO , CuO و کامپوزیت $ZnO-CuO$ کریستالی بوده و آمورف نیست. نتایج تجزیه و تحلیل DRS-UV نشان داد که به ترتیب ZnO , CuO و نانوکامپوزیت $ZnO-CuO$ دارای متوسط انرژی شکاف باند ۱/۲۷ و ۳/۲۱ و ۲/۲۳ eV هستند. محاسبات نشان داد ترکیبات $ZnO-CuO$ و کامپوزیت $ZnO-CuO$ در اثر تابش نور می‌تواند به ترتیب ۴۰, ۱۰ و ۶۸٪ از آلاینده‌ی رنگی رودامین B را تخریب نماید؛ بنابراین کامپوزیت نمودن ZnO با CuO سبب افزایش فعالیت فتوکاتالیزوری محصولات شد. همچنین مکانیسم فعالیت فتوکاتالیزوری محصولات سنتز شده و نقش اکسید مس در افزایش $ZnO-CuO$ بازه فرآیند فتوکاتالیزوری مورد بحث قرار گرفته است. ارزیابی خواص ضد باکتری نشان داد نانوکامپوزیت $ZnO-CuO$ دارای توانایی ضد باکتریایی علیه استافیلوکوکوس آرئوس به عنوان باکتری گرم مثبت و اشربیاکلی به عنوان باکتری گرم منفی است.

اطلاعات مقاله
دربافت: ۱۳۹۹/۱۱/۱۹
پذیرش: ۱۴۰۰/۰۴/۰۹
کلید واژگان:
سل-ژل
فتوكاتاليزوري
$ZnO-CuO$
خاصیت ضد باکتری

Evaluation of Photocatalytic and Antibacterial Properties of Zno-Cuo Nanocomposites Synthesized by Sol-Gel Method

Seyedeh Zahra Anvari^{1*}, Mohammad Hajeb², Mahmoud Fazel Najafabadi¹

1- Department of Mechanical Engineering, Payame Noor University (PNU), Tehran, Iran.

2- M. Sc Graduated, Payame Noor University (PNU), Tehran, Iran.

* szanvari@pnu.ac.ir

Article Information

Original Research Paper

Doi:

10.30495/apme.2021.1922834.2031

Keywords:

Sol - Gel

Photocatalyst

$ZnO-CuO$

Antibacterial Property

Abstract

In this research CuO and ZnO and $CuO-ZnO$ nanocomposites were synthesized using sol-gel method. The samples were characterized by DRS-UV, X-ray diffraction (XRD), and field emission scanning electron microscopy (FESEM). The results of XRD showed that the CuO and ZnO and $ZnO-CuO$ composite are crystalline. The results of the DRS-UV analysis showed that the CuO , ZnO , and $ZnO-CuO$ composite, respectively, have a mean band gap of 1.27 and 3.21 and 2.43 eV. According to calculations CuO , ZnO and $ZnO-CuO$ composite show 40, 10 and 68% of degradation efficiency against of rhodamine B dye, respectively. Therefore, the addition of CuO to ZnO increased the photocatalytic activity of the products. The mechanism of photocatalytic activity of synthetic products and copper oxide is discussed in the process of increasing the photocatalytic process intervals. $ZnO-CuO$ nanocomposite has an antibacterial ability against *Staphylococcus aureus* as a positive bacterium and *E. coli* as a negative bacterium.

برای ارجاع به این مقاله از عبارت ذیل استفاده نمایید:

Please cite this article using:

Seyedeh Zahra Anvari, Mohammad Hajeb, Mahmoud Fazel Najafabadi, Evaluation of Photocatalytic and Antibacterial Properties of Zno-Cuo Nanocomposites Synthesized by Sol-Gel Method, New Process in Material Engineering, 2021, 15(3), 65-79.

۱- مقدمه

مرئی است بنابراین به منظور استفاده از تمام ظرفیت اکسید روی لازم است اندازه گاف انرژی^۱ برای تسهیل در جذب نور مرئی کاهش یابد [۱۵]. افزودن نیمه رسانای دیگر با گاف انرژی کم مانند CuO می تواند در تحقق این هدف کمک کننده باشد، به طوری که آن را برای فعالیت فتوکاتالیتیکی تحت تابش نور مرئی مناسب می سازد. اکسید مس از محدود نیمه رساناهای ذاتی نوع P با شکاف نوار باریک و با شفافیت جزئی در محدوده نور مرئی است. هم چنین افزودن اکسید مس به اکسید روی باعث ایجاد یک ناحیه پذیرنده الکترون در یک ناحیه انرژی واقع در زیر نوار هدایت می شود؛ بنابراین، بعد از جذب نور و جدایی بار، الکترون در نوار هدایت می تواند به طور مؤثر به دام انداخته شود، ضمن این که حفره می تواند OH^- را اکسید کند و رادیکال های هیدروکسیل تشکیل شوند [۱۶]. از کاربردهای CuO می توان به کاربرد در زمینه حسگرهای گازی [۱۷]، حسگرهای زیستی [۱۸]، حسگرهای نوری [۱۹]، حذف آلاینده های معدنی [۲۰]، فتوکاتالیزوری [۲۱] اشاره کرد. مطالعات نشان داده است که CuO در تهیه نانوکامپوزیت های آلی-معدنی با هدایت گرمایی بالا، هدایت الکتریکی بالا و قدرت مکانیکی بالا مورد استفاده قرار گرفته است. در خصوص ستر کامپوزیت $ZnO-CuO$ تحقیقات محدودی انجام گرفته است [۱۲، ۲۲-۲۳]. فرناندز و همکارانش [۱۲] ZnO ، CuO و اکسید مخلوط $Cu_{0.05}Zn_{0.95}O$ را با استفاده از فرایند سل ژل تولید کردند و میکروساختار آن و اندازه دانه کریستالی را تعیین کردند. همچنین در تحقیقی [۲۲] نانوکامپوزیت متخلخل- ZnO به نسبت های ۵۰:۵۰ و ۹۰:۱۰ با روش سل ژل و با اضافه CuO کردن اپوکسید سنتز شده و عنوان شده است که نانوکامپوزیت های تولید شده پتانسیل کاربرد به عنوان کاتالیست و حسگر را دارا است. گیاهی و همکارانش [۲۳] نانو ذرات ZnO دوپ شده توسط $ZnO-CuO$ را توسط روش سل-ژل تولید کردند و خواص تخریب پذیری آن را مورد بررسی قرار دادند. با توجه به تحقیقات محدود صورت گرفته، هدف اصلی این پژوهش سنتز نانوکامپوزیت $ZnO-CuO$ است که بتوانند در

معضل آلودگی آب یکی از خطرات بالقوه زیست محیطی ناشی از تمدن انسانی در جهان امروز می باشد. فاضلاب یا پساب های خانگی یا صنعتی، آب مصرف شده ای است که خواص فیزیکی، شیمیایی و بیولوژیکی آن به حدی تغییر کرده که قابلیت مصرف خود را از دست داده است. با توجه به پرهزینه بودن روش های قدیمی تصفیه آب، استفاده از روش ارزان فتوکاتالیزوری و ضد میکروبی می تواند جایگزین مناسیب روش های قدیمی تصفیه آب باشد. این روش مزایای زیادی نظیر تجزیه رنگ به مواد بی ضرر را نسبت به روش های دیگر دارد [۱]. در فرایند فتوکاتالیزوری از نور خورشید برای فعال نمودن فتوکاتالیزورها استفاده می شود. هنگامی که مواد نیمه رسانا مانند فتوکاتالیزورها در معرض نور خاصی قرار گیرند، واکنش های شیمیایی مانند تجزیه مولکول های آلی را آغاز کرده یا سرعت می بخشنند [۲]. نیمه هادی ها ترکیبات شناخته ای به عنوان فتوکاتالیزور هستند. تقریباً بیشتر نیمه هادی ها به دلیل نوار شکاف کم و بیش زیاد شان، در ناحیه فرابنفش فعال هستند. بنابراین بایستی با استفاده از روش های مناسب، این شکاف نوار را کم نمود که بتوان از فتوکاتالیزور در ناحیه نور مرئی استفاده نمود. کاتالیزور های نیمه رسانا مختلفی نظیر ZnO [۳-۷]، TiO_2 [۸] و Fe_2O_3 [۹-۱۰] به عنوان فتوکاتالیزور برای تخریب آلاینده های آلی استفاده شده اند. این نیمه رساناهای علت شکاف انرژی پهن و به دلیل مقاومت در برابر فرسایش نوری مناسب ترین ترکیبات برای فرآیندهای فتوکاتالیزوری هستند [۱۱]. اکسید روی (ZnO) یکی از مهم ترین نیمه هادی ها است و به دلیل برخورداری از خواص نوری و الکترونیکی مناسب در کاربردهای نظیر سلول های خورشیدی، فتوکاتالیزورها، حسگرهای گازی و همچنین در صنعت رنگ ZnO مورد استفاده قرار می گیرد. شکاف نوار نیمه هادی ZnO ۳/۲۱eV است، بنابراین ترکیب مذکور در ناحیه فرابنفش فعال است [۵ و ۱۲]. نور فرابنفش ۳-۵ درصد از طیف خورشید را تشکیل می دهد، در حالی که این طیف شامل حدوداً ۴۰٪ نور

قطره اضافه شد. ترکیب با همزن مغناطیسی همزده شد تا به محلول آبی تیره تبدیل شود. سپس، ۴۸ ساعت برای تشکیل ژل نگهداری شد. رسوب ژل در آون در دمای ۱۲۰ درجه سانتی گراد خشک شد و رسوب خشک شده از آون خارج و در کوره با دمای ۵۰۰ درجه سانتی گراد کلسینه شد. جهت سنتز نانو کامپوزیت **ZnO-CuO** حاوی ۲۵ درصد **CuO** با روش سل-ژل در مرحله اول در یک بشر، ۵۰ میلی لیتر اتیلن گلیکول با $(Zn(CH_3COO)_2 \cdot 2H_2O)$ ۱۰/۶۴۹۴ گرم استات روی (II) دی هیدرات $(CuSO_4 \cdot 5H_2O)$ ۵۰ میلی لیتر آب مقطر بدون یون و ۱۲/۶ گرم اسید سیتریک ریخته شد و با هم زن مغناطیسی تا همگن شدن همزده شد. بعد از یک ساعت ۲/۵۴۶۶ گرم مس (II) پتاہیدرات $(CuSO_4 \cdot 5H_2O)$ به صورت تدریجی به محلول اضافه شد و به شدت همزده شد. این محلول به مدت ۴۸ ساعت در تاریکی نگهداری شد. سپس رسوب ژل به دست آمده در آون در دمای ۱۲۰ درجه سانتی گراد خشک شد و بعد در کوره با دمای ۵۰۰ درجه سانتی گراد کلسینه شد.

ارزیابی ریزساختار نمونه های تولید شده با استفاده از دستگاه FEI ESEM میکروسکوپ الکترونی روبشی گسل میدانی UANTA 200 انجام شد. همچنین آنالیز عنصری نمونه ها توسط آشکارساز EDAX EDS Silicon Drift 2017 (XRD) نمونه های سنتز شده توسط دستگاه پراش پرتوایکس Philips مورد ارزیابی قرار گرفت. مدل دستگاه مورد استفاده pert D8ADVANCE X'pert ۰/۱ مولار (CuSO₄·5H₂O) بود. با استفاده از داده های XRD و با کمک رابطه دبای شرر [۲۴] اندازه کریستالیت ها محاسبه شد. بررسی فعالیت فتوکاتالیزوری **CuO** و **ZnO** سنتز شده در تخریب نوری آلاینده رنگی رودامین B انجام شد. منبع تابش مورد استفاده در این پژوهش، لامپ جیوه با نور سفید و توان ۵۰ W بوده است. مقدار محلول مورد آزمایش ۲ میلی گرم بر لیتر با غلظت رنگ ۵ ppm رودامین B بود. محدوده زمان تابش در هر مرحله آزمایش بین ۰/۵ تا ۴ ساعت با موقعیت عمودی به راکتور بود. غلظت رودامین B موجود در محلول از طریق بیشینه جذب آن در ۵۵۰ nm با استفاده از طیف سنجی

فرآیند تخریب آلاینده های آلب به عنوان فتوکاتالیزور عمل نمایند. در فرایندهای فتوکاتالیزوری با تابش نور مرئی به فتوکاتالیزور، نیمه رسانای اصلی برانگیخته شده و الکترون نوار ظرفیت به نوار هدایت می رود. الکترون و حفره تولید شده توسط نور، گونه های رادیکالی را تولید می کنند که منجر به تخریب آلاینده ها می شود. همچنین نقش **CuO** در این بهبود، میزان آن و مکانیسم فرایند فتوکاتالیزوری بحث می شود. در انتها تأثیر نانو کامپوزیت **ZnO-CuO** به عنوان یک عامل ضد باکتریابی علیه استافیلوکوکوس آرئوس (باکتری گرم مثبت) و اشريشيا كليل (باکتری گرم منفی) مورد مطالعه قرار می گیرد.

۲- روش انجام آزمایش

مواد اولیه مورد استفاده شامل استات روی دی هیدرات با فرمول $Zn(CH_3COO)_2 \cdot 2H_2O$ ، سولفات مس پتاہیدرات با فرمول $CuSO_4 \cdot 5H_2O$ ، اتانول، اتیلن گلیکول، اسید سیتریک و کلرید سدیم از شرکت Merck، رودامین B از شرکت Sigma Aldrich و نوتربینت آگار ^۳، استافیلوکوکوس آرئوس ^۳ و اشريشيا كليل ^۴ تهیه شدند. در این پژوهش، ابتدا نانو ذرات **ZnO** و **CuO** به شیوه سل-ژل سنتز شده و سپس **ZnO-CuO** نیز به همین روش سنتز شد [۲۴]. جهت سنتز **ZnO** ابتدا مقدار ۹/۳۵ گرم استات روی (II) دی هیدرات $(Zn(CH_3COO)_2 \cdot 2H_2O)$ در ۴۰ میلی لیتر اتانول حل شد و سپس با یک همزن مغناطیسی همزده شد. این مخلوط به مدت ۴۸ ساعت برای تشکیل ژل نگهداری و پس از آن در آون در دمای ۱۲۰ درجه سانتی گراد خشک شد. سپس رسوب خشک شده از آون خارج و در کوره در دمای ۵۰۰ درجه سانتی گراد به مدت ۴ ساعت کلسینه شد. برای سنتز نانوذرات CuO ، ۴۰ میلی لیتر سولفات مس (II) پتاہیدرات ۰/۱ مولار (CuSO₄·5H₂O) تهیه شد. سپس ۲۰ میلی لیتر اسید سیتریک ۰/۱ مولار نیز تهیه شد. این دو محلول را با هم ترکیب نموده و با یک همزن مغناطیسی تا زمان همگن شدن هم زده شد و به محلول ۲۰ میلی لیتر هیدروکسید سدیم ۱ مولار NaOH قطره

۳- نتایج و بحث

۳-۱- سنتر نانو کامپوزیت

به منظور بررسی صحت سنتر ZnO الگوی پراش اشعه ایکس نمونه سنتر شده در شکل (۱) آورده شده است. ترکیب سنتر ZnO شده، با فاز هگزاگونال است. فاز هگزاگونال ZnO پیک تیزی در $2\theta = 36^\circ$ دارد. همان‌طوری که در الگوهای XRD ترکیب سنتر شده مشاهده می‌شود، پیک در $2\theta = 34/5^\circ$ مربوط به فاز هگزاگونال ZnO است. فاز آناتاز ZnO در ناحیه مرئی فعال است. با توجه به شکل (۱) الگوهای پراش اشعه ایکس ترکیب سنتر شده با الگوهای پراش ZnO با شماره کارت Zincite (۳۶۱۴۵۱) منطبق است.

الگوهای پراش اشعه ایکس ترکیب CuO در شکل (۲) نشان داده شده است. ترکیب CuO استفاده شده دارای فاز کریستالی منوكلینیک با شماره کارت (۴۵۰۹۳۷) است. پیک اصلی در الگوهای پراش ترکیب CuO در $2\theta = 38/96^\circ$ و $35/74^\circ$ مربوط به فاز منوكلینیک در این ترکیب است.

به منظور بررسی صحت سنتر ترکیب کامپوزیتی $ZnO-CuO$ الگوهای پراش اشعه ایکس این ترکیب در شکل (۳) نشان داده شده است. هردو ترکیب ZnO با فاز کریستالی هگزاگونال و شماره کارت Zincite (۳۶۱۴۵۱) و ترکیب CuO با فاز کریستالی منوكلینیک و شماره کارت Tenorite (۰۵۰۶۶۱) در الگوهای پراش اشعه ایکس ترکیب کامپوزیتی دیده می‌شود. بنابراین هردو گونه ZnO و CuO در این ترکیب کامپوزیتی حضور دارند. در الگوهای پراش اشعه ایکس ترکیب کامپوزیتی، پیک اصلی فاز آناتاز ZnO در $2\theta = 25^\circ$ مؤید حضور فاز آناتاز ZnO در ترکیب است. بنابراین، طی فرآیند سنتر ZnO در حضور اکسید مس (II)، فاز کریستالی ZnO به هم نخورد است.

جهت محاسبه اندازه کریستال‌ها از رابطه دبای شر استفاده شد [۲۴]. میانگین اندازه کریستال‌های ZnO و CuO به ترتیب 47 و $65/5$ نانومتر محاسبه شد. محاسبه اندازه کریستال‌ها نشان می‌دهد که ZnO با CuO با موفقیت کامپوزیت

UV-Vis تعیین شد. انرژی شکاف باند از داده‌های طیف‌سنجد UV-Vis و با استفاده از نمودار تاک پلات^۵ محاسبه شد. در این روش ابتدا منحنی $\alpha(hv)^{1/2}$ (α) که ضریب به دست آمده از طیف‌سنجد است، بر حسب انرژی فوتون رسم شد. انرژی فوتون از رابطه ۱ محاسبه شد:

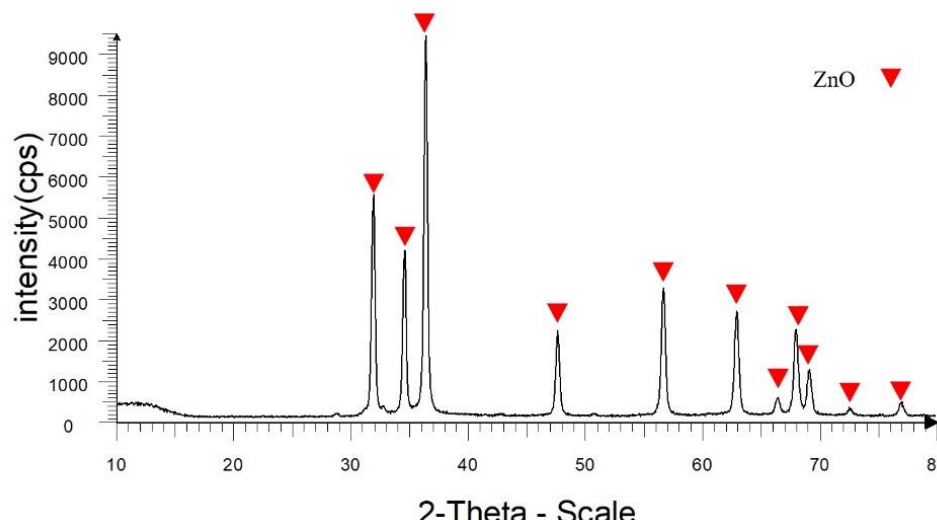
$$(1) E = h\nu = 1240/\lambda$$

طول موج نور تحریک کننده است. با امتداد دادن بخش خطی منحنی در جایی که ضریب جذب صفر است مقدار انرژی شکاف باند به دست می‌آید [۲۵].

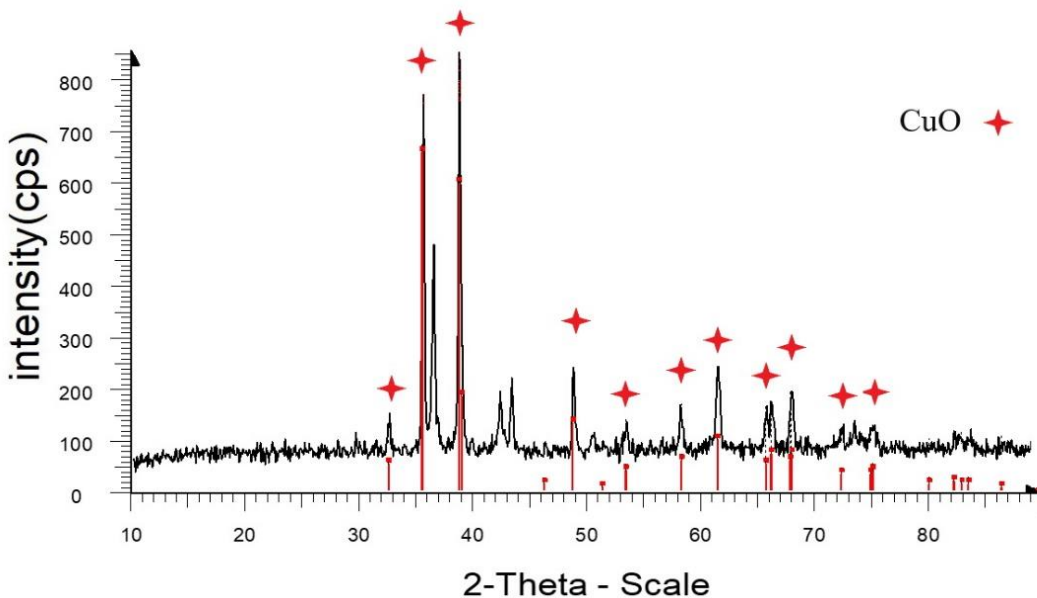
جهت ارزیابی خاصیت ضد باکتری نمونه‌ها ابتدا محیط سازی کشت با نوترینت آگار انجام شد. بدین روش که محیط کشت آگار با مخلوط $0/23$ گرم نوترینت آگار و 10 میلی‌لیتر آب مقطر بدون یون تهیه شد. در یک محیط کشت آگار، سوسپانسیون باکتری با استفاده از یک سوزن تزریق شد. محیط مورب در دمای 37 درجه سانتی‌گراد به مدت 24 ساعت برای رشد یافتن باکتری در انکوباتور گرم خانه گذاری شد. جهت تهیه سوسپانسیون باکتری، باکتری‌های تلقیح شده با یک حلقه‌ی سیم گرفته شده و در یک لوله استریل محلول کلرید سدیم معلق شدند. در نهایت با استفاده از دستگاه اسپکتروفوتومتر (طول موج 626 نانومتر) جذب سوسپانسیون به منظور تعیین چگالی صحیح کدورت استاندارد در محدوده $0/8$ الی $0/13$ تنظیم گردید. مراحل ذکر شده برای هر دو باکتری‌های استافیلوکوکس و اشریشیاکلی انجام شد. سوسپانسیون باکتری‌ایی از کشت تازه این باکتری‌ها تهیه شد. برای تهیه‌ی سوسپانسیون از نانوذرات $ZnO-CuO$ و کامپوزیت ZnO مذکور از آب دیونیزه استفاده شد. در این پژوهش غلظت اولیه 2 میلی‌گرم بر میلی‌لیتر در نظر گرفته شد و رقت‌های موردنظر $0/1$ و $0/2$ و $0/3$ و $0/4$ میلی‌گرم بر میلی‌لیتر تهیه شد. بررسی اثر نانوذرات بر باکتری‌های اشریشیاکلی و استافیلوکوکس در محیط کشت جامد انجام شد.

سطح ZnO با CuO باشد؛ بنابراین، اندازه کریستال‌های کامپوزیت ZnO - CuO با افزودن CuO روند رو به کاهشی داشته است.

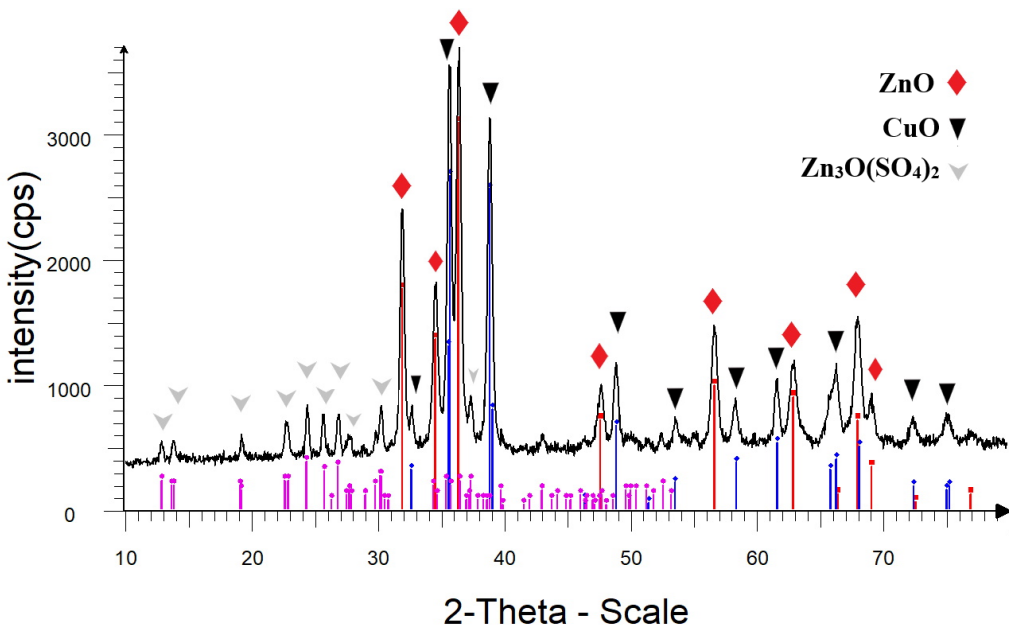
شده است. بعد از سنتز، اندازه کریستال‌ها کاهش می‌یابد. این نتیجه تقریباً مشابه به دست آمده توسط محققین دیگر است [۱ و ۵]. اندازه کوچک‌تر ذرات ممکن است در نتیجه‌ی پوشش



شکل (۱): الگوهای پراش اشعه ایکس سنتز شده با الگوی پراش ZnO با شماره کارت Zincite (۳۶۱۴۵۱).



شکل (۲): الگوهای پراش اشعه ایکس سنتز شده با الگوی پراش CuO با شماره کارت CuO Tenorite (۴۵۰۹۳۷).

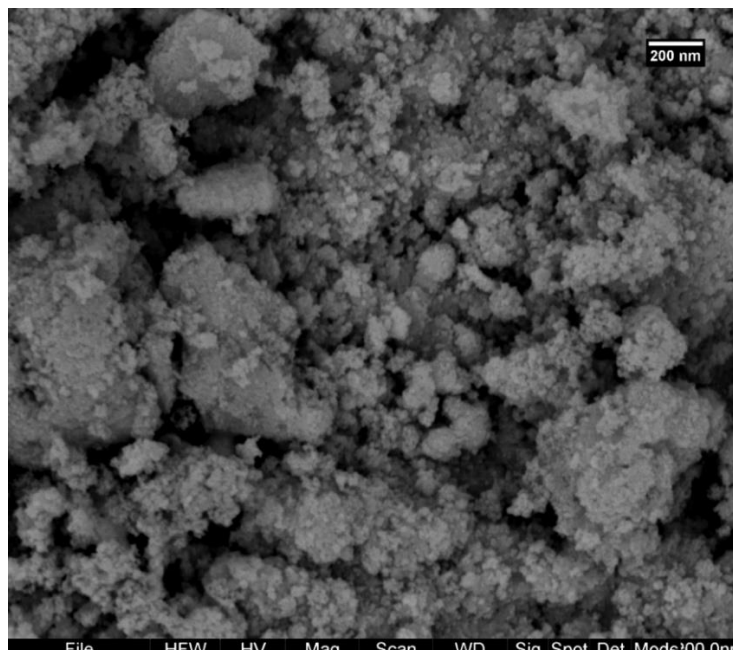
شکل (۳): الگوهای پراش اشعه ایکس ترکیب $ZnO\text{-}CuO$ سنتز شده.

مورفولوژی برخوردار است. همچنین، اندازه ذرات موجود در این ترکیب زیر 100 nm هستند و توزیع یکنواخت اندازه ذرات در تصویر میکروسکوپی ترکیب اکسید مس مشاهده می‌شود. توزیع یکنواخت مورفولوژی و اندازه ذرات و همچنین قرار داشتن اندازه ذرات در محدوده نانو، از مزایای مهم و اثرگذار بر خواص فتوکاتالیزوری نمونه شده است. تصویر میکروسکوپ الکترونی رویشی از کامپوزیت $ZnO\text{-}CuO$ در شکل (۶) نشان داده شده است. طی فرآیند سنتز در حضور اکسید مس، ذرات ZnO مورفولوژی کروی خود را حفظ کرده‌اند. یکنواختی مورفولوژی نیز در کامپوزیت سنتز شده وجود دارد. اندازه ذرات نیز در محدوده نانو است و توزیع یکنواخت اندازه ذرات تقریباً در کل تصویر مشاهده می‌شود. از نمونه‌های سنتز شده کامپوزیت $ZnO\text{-}CuO$ و ZnO آنالیز عنصری (EDAX) و Map اخذ شد و نتایج تجزیه و تحلیل FESEM نشان داد که هر سه ذرات سنتز شده خلوص بسیار خوبی داشته و تأیید شد که نمونه‌ها نانو ذرات اکسید مس و اکسید روی است. نتایج آنالیز EDAX نمونه کامپوزیت در شکل (۷) نشان داده شده است.

۲-۳- تصاویر میکروسکوپ الکترونی نمونه‌های تولید شده

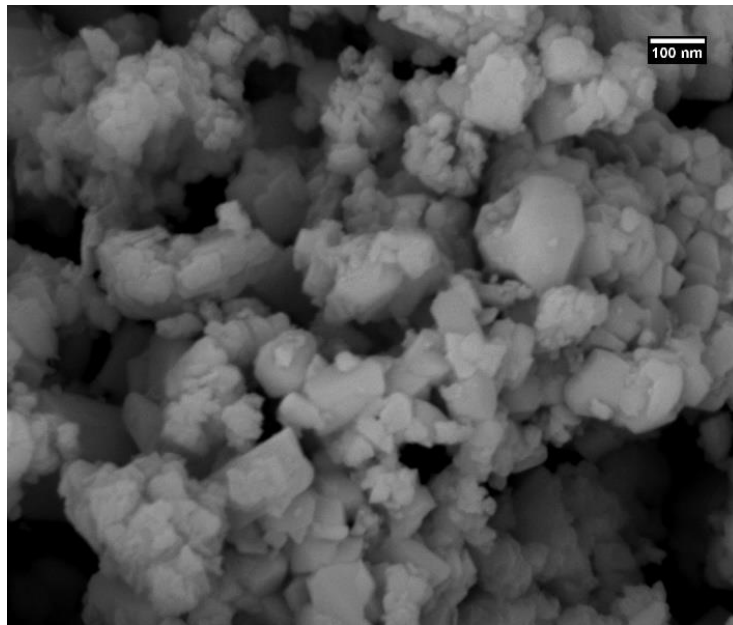
مورفولوژی ترکیب ZnO سنتز شده از طریق آنالیز SEM بررسی شده است. تصویر میکروسکوپ الکترونی رویشی ترکیب ZnO در شکل (۴) نشان داده شده است. همان‌طوری که در شکل دیده می‌شود، ترکیب ZnO با مورفولوژی کروی شکل سنتز شده است. ذرات ZnO با توزیع تقریباً یکنواخت با اندازه ذرات کمتر از 100 nm طی فرآیند سل-ژل سنتز شده‌اند. بنابراین اندازه ترکیب سنتز شده در محدوده نانو قرار دارد. یکنواختی مورفولوژی و اندازه ریز ذرات از مزایای روش سنتزی فوق به حساب می‌آید. زیرا اندازه ذرات و مورفولوژی، دو پارامتر مهم تأثیرگذار بر فعالیت فتوکاتالیزوری ترکیب است [۲۶]. ذره‌های کاتالیزور با ابعاد نانومتری با توجه به سطح بزرگشان در مقایسه با ذره‌های بزرگ‌تر، به‌طور قابل توجهی واکنش‌پذیری بیشتری نشان می‌دهند [۲۷].

تصویر میکروسکوپ الکترونی رویشی اکسید مس در شکل (۵) آورده شده است. همان‌طوری که در شکل دیده می‌شود، در ترکیب اکسید مس، ذرات با مورفولوژی کروی شکل وجود دارند. ترکیب سنتز شده در این پژوهش، از توزیع یکنواخت



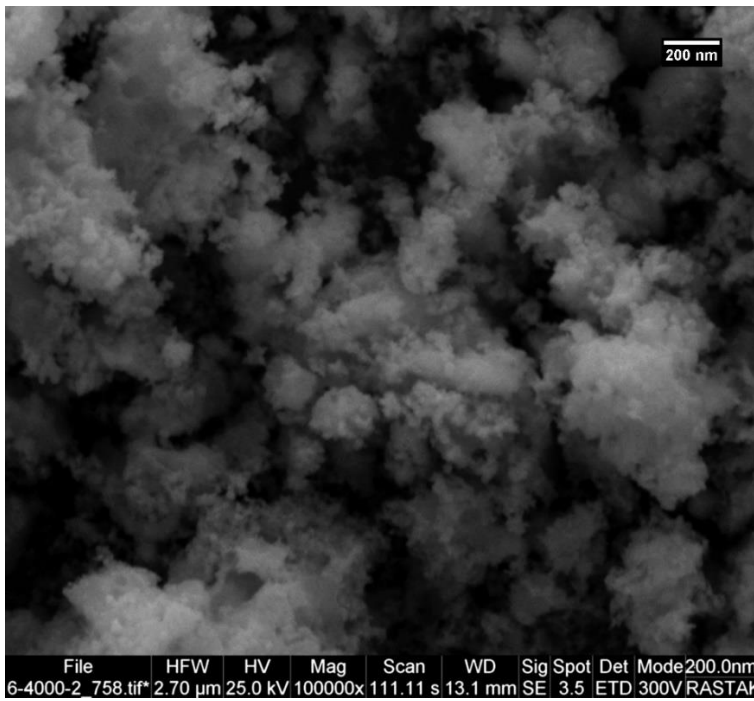
6-4000-2_766.tif* 2.70 μm 25.0 KV 100000x 111.11 s 12.8 mm BSE 3.0 SSD A+B RASTA

شکل (۴): تصویر میکروسکوپ الکترونی ترکیب ZnO

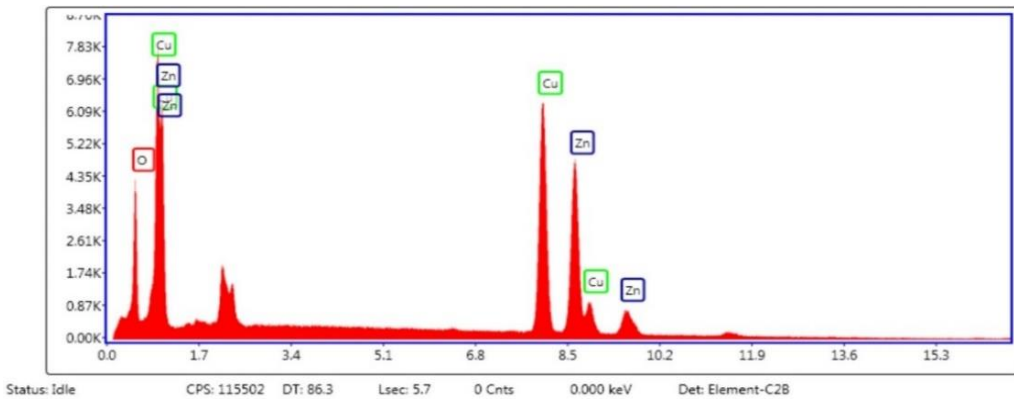


6-4000-2_774.tif* 1.35 μm 25.0 KV 200000x 111.11 s 12.8 mm BSE 3.0 SSD A+B RASTA

شکل (۵): تصویر میکروسکوپ الکترونی رویشی ترکیب CuO.



شکل (۶): تصویر میکروسکوپ الکترونی رویشی کامپوزیت ZnO- CuO



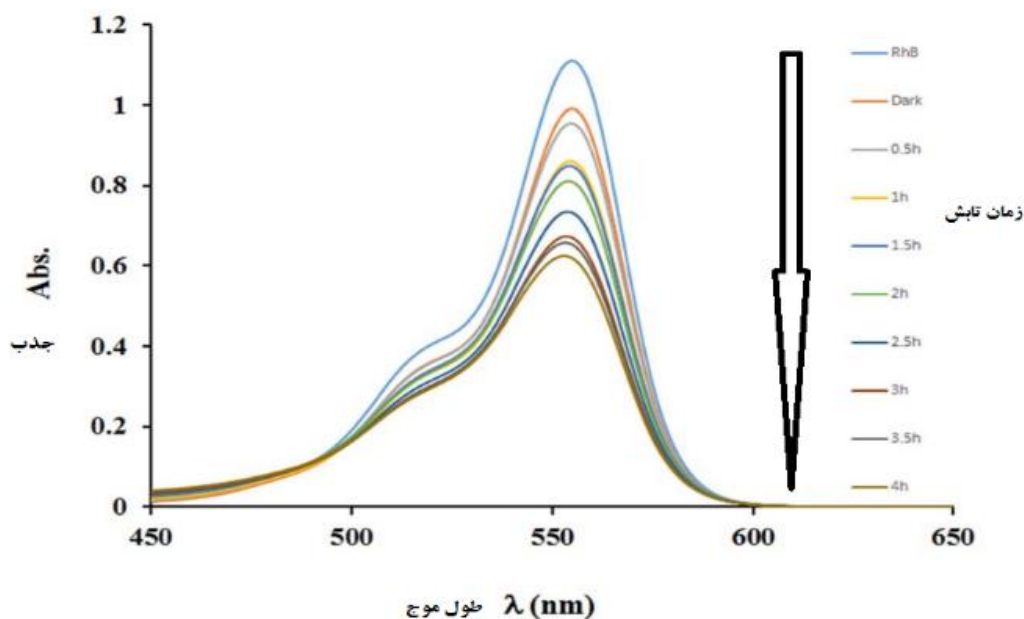
شکل (۷): نتایج آنالیز EDAX نمونه کامپوزیت ZnO-CuO

واجدب آلاینده رنگی روی سطح فتوکاتالیزور، رودامین B به مدت نیم ساعت در مجاورت فتوکاتالیزور در محیط تاریک هم خورده است. بعد از این مدت دومین نمونه برداشته شده است. دومین طیف از بالا مربوط به نمونه در شرایط تاریک است. سپس لامپ روشن شده و هر نیم ساعت نمونه گیری انجام شده است. با افزایش زمان به تدریج جذب مربوط به رودامین B کاهش یافته است. این پدیده حاکمی از کاهش غلظت رودامین

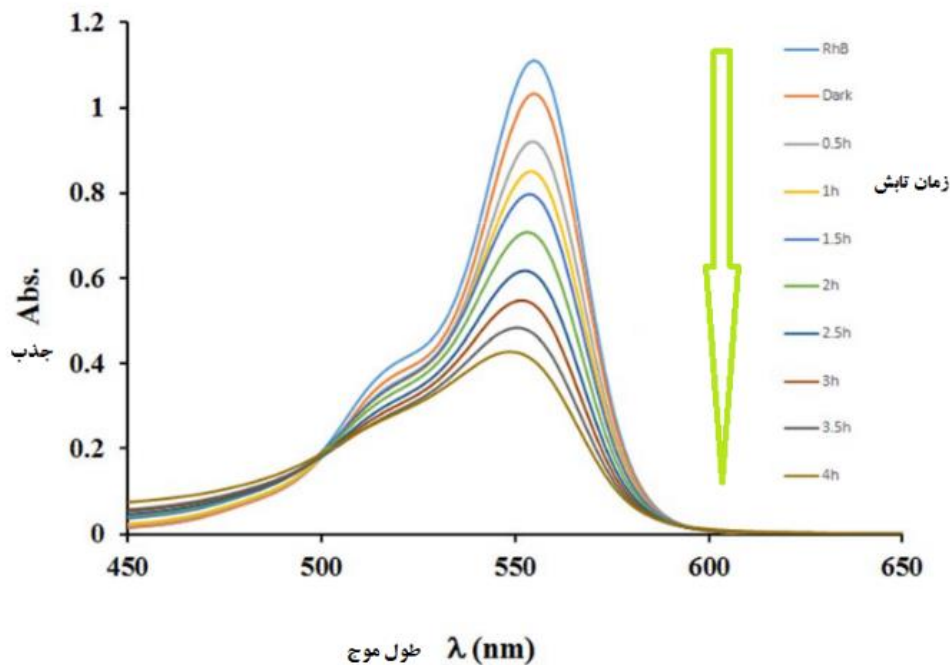
۳-۳-آزمایش فتوکاتالیزوری ترکیبات سنتز شده طیف‌سنگی فرابنفش مربوط به ترکیب CuO، در شکل (۸) نشان داده شده است. همان‌طوری که در این شکل دیده می‌شود بیشینه جذب رودامین B، در ۵۵۰ nm است. بررسی روند جذب رودامین B، در این طول‌موج انجام شده است. در این نمودار اولین طیف که بالاتر از همه قرار گرفته، مربوط به رودامین اولیه با غلظت ۵ ppm است. به منظور کنترل نمودن فرآیند جذب و

فتوکاتالیزور ZnO توانسته، ۱۰٪ از رنگ رودامین B را طی مدت زمان ۴ ساعت تخریب نماید. طیف‌سنجی فرابنفش، در حضور ترکیب ZnO-CuO به عنوان فتوکاتالیزور در شکل (۱۰) نشان داده شده است. در مقایسه این شکل با نمودار جذبی رودامین B در حضور فتوکاتالیزور CuO (شکل ۸)، روند تخریب با گذشت زمان یکنواخت‌تر صورت گرفته است. این پدیده نشان‌دهنده‌ی فعالیت فتوکاتالیزوری بیشتر ترکیب کامپوزیتی است. روند کاهش جذب رنگ رودامین B نیز در این نمودار دیده می‌شود، که نشان‌دهنده‌ی تخریب رنگ رودامین B در حضور این فتوکاتالیزور است. بازده فتوکاتالیزور ZnO-CuO در تخریب رنگ رودامین B پس از زمان ۴ ساعت ۶۸٪ بوده است.

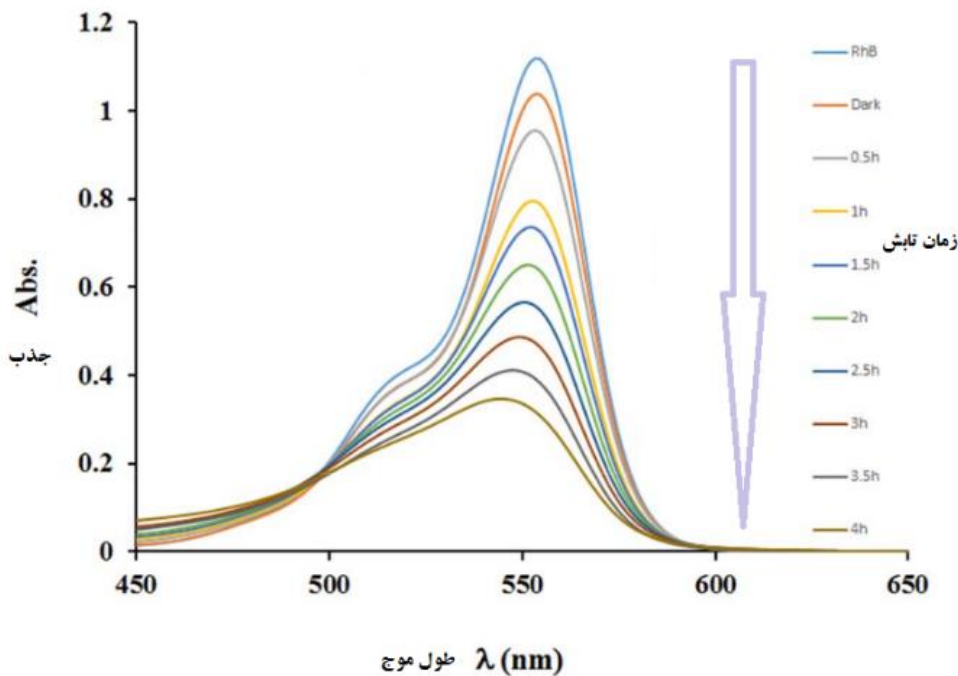
B، با گذشت زمان در حضور فتوکاتالیزور CuO و نور است. بنابراین فتوکاتالیزور CuO توانسته در حضور نور لامپ جیوه، رنگ رودامین B را تخریب نماید. با تخریب رودامین B، غلظت آن در محیط کم شده و بنابراین جذب آن نیز کاهش می‌یابد. محاسبات نشان داده است که فتوکاتالیزور CuO توانسته، ۴۰٪ از رنگ رودامین B را طی مدت زمان ۴ ساعت تخریب نماید. طیف‌سنجی فرابنفش ترکیب ZnO در شکل (۹) نشان داده شده است. با توجه به شکل بیشینه جذب رودامین B در ۵۵۰ nm است. بررسی روند جذب رودامین B، در این طول موج انجام شده است. بالاتر طیف مربوط به رودامین اولیه با غلظت ۵ ppm است و با افزایش زمان به تدریج جذب مربوط به رودامین B کاهش یافته است. محاسبات نشان داده است که



شکل (۸): طیف‌سنجی فرابنفش در فرآیند فتوکاتالیزوری ترکیب CuO.



شکل (۹): طیف‌سنجی فرابنفش در فرآیند فتوکاتالیزوری ترکیب ZnO



شکل (۱۰): طیف‌سنجی فرابنفش در فرآیند فتوکاتالیزوری ترکیب ZnO-CuO

به واسطهٔ شکاف نوار پایین این ترکیب است. همان‌طوری که در قسمت‌های قبل توضیح داده شده است، باز ترکیب الکترون-حفره عامل مهمی در کاهش بازده فرآیند فتوکاتالیزوری است. باز ترکیب حفره-الکترون در نیمه‌هادی‌هایی با شکاف نوار کم، زیاد است. در ترکیب اکسید مس به واسطهٔ شکاف نوار پایین، الکترون تحریک شده موجود در نوار هدایت به نوار ظرفیت برگشته و با حفره موجود در آن مجدداً ترکیب می‌شود. بنابراین میزان الکترون-حفره تولید شده توسط نور کاهش یافته و درنتیجه، گونه‌های رادیکالی کمتری حاصل می‌شود. این امر منجر به کاهش بازده فرآیند فتوکاتالیزوری می‌شود. همان‌طوری که نتایج فتوکاتالیزوری نشان داده است، با کامپوزیت نمودن ZnO، بازده فرآیند فتوکاتالیزوری افزایش می‌یابد. شکل (۱۱) تصویر مولکول رودامین B و تصویر شماتیکی از مکانیسم فرآیند فتوکاتالیزوری در ترکیب کامپوزیتی را نشان می‌دهد. در ترکیب کامپوزیتی، همانگی مناسبی بین نوارهای ظرفیت و هدایت ZnO و CuO وجود دارد. با تابش نور به فتوکاتالیزور الکترون‌های موجود در نوارهای ظرفیت ZnO و CuO تحریک شده و به نوار هدایت منتقل می‌شوند. از طرف دیگر به دلیل همانگی مناسب بین ترازهای نوار هدایت ZnO و CuO در این کامپوزیت، الکترون موجود در نوار هدایت ZnO به نوار هدایت CuO منتقل می‌شود. با این فرآیند، تعداد الکترون‌های شرکت‌کننده در واکنش‌های فتوکاتالیزوری افزایش یافته و گونه‌های رادیکالی بیشتری تولید می‌شود. در نتیجه، بازده فرآیند فتوکاتالیزوری افزایش می‌یابد. در ترکیبات کامپوزیتی، ترکیب درصد اجزا نقش مهمی را در فعالیت فتوکاتالیزوری ترکیبات دارند.

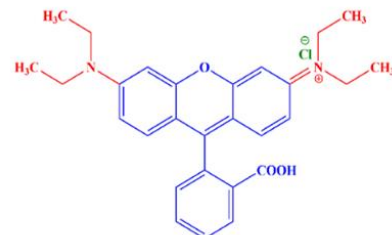
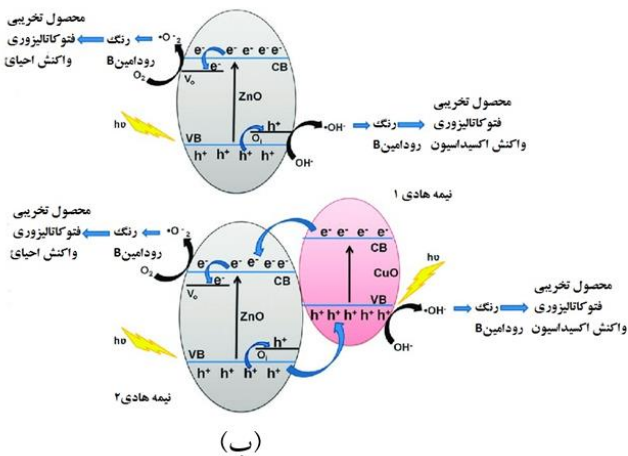
نتایج حاصل از تخریب ترکیبات سنتز شده، در جدول (۱) جمع‌آوری شده‌اند. با مقایسهٔ نتایج تخریب فتوکاتالیزوری بیشترین میزان تخریب در ترکیب ZnO-CuO مشاهده شده است. به علاوه اضافه کردن CuO به ZnO باعث کاهش انرژی شکاف باند شده است. با توجه به تحقیقات انجام شده [۲۸] (به ۲p) (3d¹⁰-4s) و به (3d⁹) افزایش یافته است. به دلیل انرژی شکاف باند کوچک‌تر کامپوزیت ZnO-CuO در مقایسه با ZnO، کامپوزیت دارای خواص فتوکاتالیزوری بهتر است [۲۹].

جدول (۱): بازده فرآیند تخریب فتوکاتالیزوری

نمونه	شکاف باند	بازده فرآیند فتوکاتالیزوری
CuO	۱/۲۷	۴۰
ZnO	۳/۲۱	۱۰
ZnO-CuO	۲/۴۳	۶۸

۴-۳- تفسیر مکانیسم فرآیند فتوکاتالیزوری

همان‌طوری که در قسمت‌های قبل توضیح داده شده است، ترکیب CuO به تنهایی در اثر تابش نور می‌تواند ۴۰٪ از آلاینده‌ی رنگی رودامین B را تخریب نماید. بر اثر تابش نور به ترکیب CuO، الکترون موجود در نوار ظرفیت آن تحریک شده و به نوار هدایت می‌رود. الکترون برانگیخته شده موجود در نوار هدایت و حفره موجود در نوار ظرفیت، در واکنش‌های فتوکاتالیزوری شرکت کرده و گونه‌های رادیکالی OH- و O₂ را تولید می‌نماید [۱۶]. گونه‌های رادیکالی تولید شده در این فرآیند به آلاینده‌ی رنگی رودامین B حمله کرده و آن را تخریب می‌کنند. بنابراین با کاهش میزان رودامین B در محلول، جذب آن کاهش یافته و رنگ محلول کمتر شود. بازده پایین فرآیند فتوکاتالیزوری در حضور ترکیب مس اکسید،



(الف)

شکل (۱۱): (الف) تصویر مولکول رودامین B و (ب) تصویر شماتیک از مکانیسم فرآیند فتوکاتالیزوری در ترکیب کامپوزیتی از ZnO و CuO

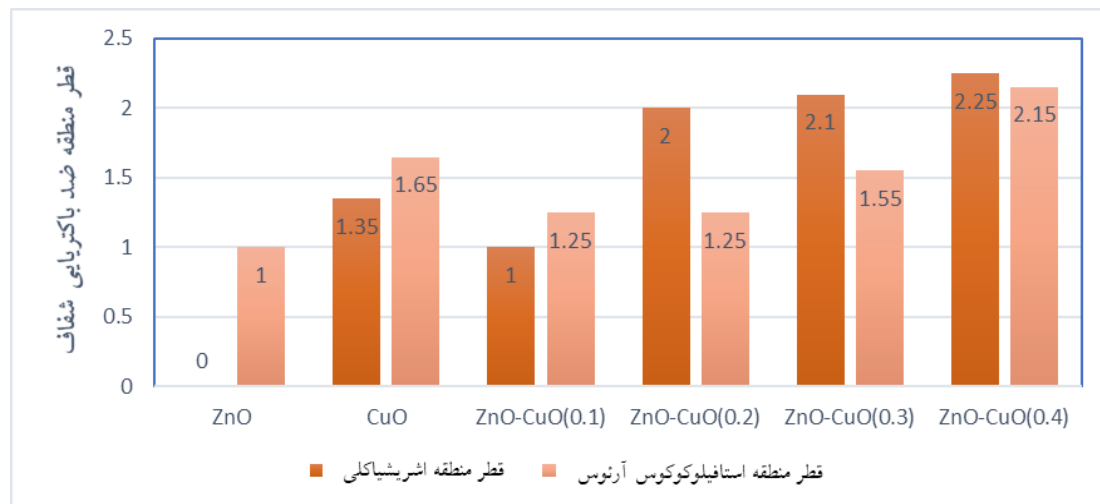
هنگامی که ZnO و CuO در معرض اشعه فرابنفش قرار می‌گیرند، رادیکال‌های آنیون سوپراکسید ($\bullet\text{O}_2^-$) تشکیل می‌شوند و سپس با H^+ واکنش داده تا HO_2^\bullet را تولید کنند. الکترون‌ها باعث تولید آنیون پراکسید هیدروژن (HO_2^\bullet) می‌شوند. سپس، آنیون HO_2^- با یون‌های هیدروژن واکنش داده تا مولکول‌های H_2O_2 که می‌تواند برای کشتن باکتری‌ها مفید باشد را تشکیل دهد. دیگر محققان [۲۹] گزارش دادند که ویژگی‌های فتوکاتالیتی ZnO - CuO نسبت به اکسیدهای مربوطه بالاتر است. این امر می‌تواند ترکیب‌های رادیکال و مولکول H_2O_2 را برای کشتن مؤثر باکتری‌ها افزایش دهد. هر چه غلظت سوپرانسیون ZnO-CuO بیشتر شد، فعالیت آنتی‌باکتری نیز بیشتر شد. فعالیت ضد باکتری نانو کامپوزیت ZnO-CuO در شکل (۱۲) نشان داده شده است.

۳-۵-بررسی خاصیت ضد باکتری

آزمون ویژگی ضد باکتریابی بر اساس روش دیسک انجام شد. می‌توان دید که نانو کامپوزیت ZnO-CuO باعث مهار رشد باکتری‌های گرم مثبت (*S. aureus*) و باکتری‌های گرم منفی (*E.coli*) می‌شود. آزمایش با استفاده از پاک‌کننده فوری غلیظ دامستوس به عنوان شاهد مثبت انجام شد، زیرا اثبات شده است که از رشد باکتری *S. aureus* و *E. coli* جلوگیری می‌کند. آب مقطر به عنوان شاهد منفی مورد استفاده قرار گرفت زیرا می‌توان آن را به عنوان حلال نانو کامپوزیت ZnO-CuO-استفاده کرد. جدول (۲) قطر منطقه ضد باکتریابی شفاف را نشان می‌دهد.

جدول (۲): قطر منطقه ضد باکتریابی شفاف.

E.coli	S. aureus	قطر هاله شفاف (mm)	قطر هاله شفاف (mm)	نمونه‌ها
		مقروم	-	
۱/۳۵		۱/۶۵	-	CuO
۱		۱/۲۰	۰/۱	ZnO- CuO
۲		۱/۲۰	۰/۲	ZnO- CuO
۲/۱		۱/۰۰	۰/۳	ZnO- CuO
۲/۲۵		۲/۱۰	۰/۴	ZnO- CuO

شکل (۱۲)- قطر ناحیه ضد باکتری ZnO , CuO و ZnO-CuO در برابر اشتباهیکلی و E. coli

خارجی باکتری گرم منفی از جمله اشتباهیکلی به طور عمدۀ از مولکول‌های پلی‌ساکارید‌پکیده سخت ساخته شده که مانع محکمی در برابر نفوذ نانو ذرات فراهم می‌آورد، این باکتری (اشتباهیکلی) در برابر نفوذ نانو ذرات اکسید مس واکسید روی از باکتری استافیلوکوکوس اورئوس مقاوم‌تر است. با توجه به خاصیت فتوکاتالیزوری، اثرات ضد میکروبی نانوذرات کامپوزیت $\text{ZnO} - \text{CuO}$ در مقایسه با نانو ذرات اکسید مس و اکسید روی بیشتر است. نانو کامپوزیت‌های با غلظت کمتر از 0.1% اثرات ضد میکروبی قابل توجهی بر روی باکتری گرم منفی اشتباهی ندارند.

۴- نتیجه‌گیری

نانو ذرات CuO و $\text{ZnO} - \text{CuO}$ و کامپوزیت $\text{ZnO} - \text{CuO}$ با استفاده از روش سل-ژل با موفقیت سنتز شدند. نتایج تجزیه و تحلیل XRD نشان داد که نانو ذرات CuO و ZnO و همچنین نانوکامپوزیت ZnO-CuO کریستالی بوده و آمورف نیستند. نتایج فتوکاتالیزوری نشان داد که با تولید کامپوزیت، بازده فرآیند فتوکاتالیزوری افزایش می‌یابد. که این امر به‌واسطه‌ی هماهنگی مناسب بین تراز نوارهای ظرفیت و هدایت CuO و ZnO ، انتقال مناسب الکترون، پایین بودن میزان بازترکیب و اثر هم‌افزایی مناسب بین ZnO و CuO است. با کامپوزیت نمودن ZnO با CuO ، الکtron موجود در نوار هدایت ZnO به نوار هدایت CuO منتقل می‌شود. با این فرآیند، تعداد الکترون‌های شرکت‌کننده در

شکل (۱۲) نشان می‌دهد که ZnO به عنوان ضد باکتری در مهار رشد باکتری S. aureus بهتر است. مهار کنندگی CuO بین باکتری E. coli و S. aureus خیلی متفاوت نیست؛ بنابراین، نانوکامپوزیت ZnO-CuO می‌تواند به عنوان مهارکننده‌ی رشد باکتری E. coli و S. aureus مورد استفاده قرار گیرد. فعالیت ضد باکتریایی با افزایش غلظت ZnO-CuO افزایش یافت که نشان می‌دهد هرچه سوسپانسیون نانو کامپوزیت غلظت‌تر باشد و بیشگی‌های فتوکاتالیتی کامپوزیت جهت جلوگیری از رشد باکتری‌ها افزایش می‌یابد؛ بنابراین غلظت نقش مهمی در فعالیت ضد باکتریایی دارد. در این آزمایش، غلظت 0.4% سوسپانسیون کامپوزیت $\text{ZnO} - \text{CuO}$ بیشترین اثر ضد باکتریایی را نسبت به ZnO و S. aureus نشان داد که بهتر از ZnO-CuO است. محققان دیگر [۳۰] گزارش دادند که سطح بیشتر ZnO-CuO به راحتی وارد سلول می‌شود و باکتری‌ها را به دلیل افزایش یون‌های Zn^{2+} و گونه‌های اکسیژن واکنش‌پذیر می‌کشد. انرژی کمتر بند گپ نیز می‌تواند فعالیت ضد باکتریایی را افزایش دهد، زیرا الکترون‌ها می‌توانند به آسانی از لایه والانس به باند هدایت برانگیخته شوند [۳۱]. بنابراین فعالیت فتوکاتالیستی می‌تواند به دلیل وجود گونه‌های زیادی از رادیکال‌های سوپر اکسید به عنوان مهارکننده رشد باکتری، کارآمدتر باشد. به دلیل اینکه غشا

[۷] فرآیندهای نوین در مهندسی مواد، سال ۱۳، شماره ۴، ۱۳۹۸.

[۸] ح. یوسفی و ب. هاشمی، "سترن نانوذرات اکسید روی دوب شده توسط نقره به روش سل-زل پکینی و مشخصه یابی و بررسی خواص فتوکاتالیستی آنها"، فرآیندهای نوین در مهندسی مواد، سال ۱۲، شماره ۴، ۱۳۹۷.

[۹] W. Buhro & V. Colvin, "Semiconductor nanocrystals: Shape matters", Nat. Mater, vol. 2, pp. 138–139, 2003.

[۱۰] A. A. Dubale, Ch. J. Pan, A. G. Tamirat, H. M. Chen, W. N. Su, Ch. H. Chen, J. Rick, D. W. Ayele, B. A. Aragaw, J. F. Lee, Y. W. Yangand & B. J. Hwang, "Heterostructured Cu₂O/CuO decorated with nickel as a highly efficient photocathode for photoelectrochemical water reduction", J. Mater. Chem. A, vol. 23, pp. 12482-12499, 2015.

[۱۱] S. Ruhle, M. Shalom & A. Zaban, "Quantum-Dot-Sensitized Solar Cells", Chem. Phys. Chem, vol. 11, pp. 2290–2304, 2010.

[۱۲] A. Lebedev, F. Anariba, J. Ch. Tan, X. Li & P. Wu, "A review of physiochemical and photocatalytic properties of metal oxides against Escherichia coli", Journal of Photochemistry and Photobiology A: Chemistry, vol. 360, pp. 306-315, 2018.

[۱۳] D. M. Fernandes, R. Silva, A. A. Winkler Hechenleitner, E. Radovanovic, M. A. Custodio Melo & E. A. Gomez Pineda, "Synthesis and characterization of ZnO, CuO and a mixed Zn and Cu oxide", Materials Chemistry and Physics, vol. 115, pp. 110–115, 2009.

[۱۴] H. R. Ebrahimi, F. Kazemipour-Baravati & H. Bagheri, "Synthesize of ZnO/NPs and Investigation of Its Effect in Reduction of Electrochemical Charge Transfer Resistance; Application of It for Photodecomposition of Calcon (C.I.15705) Dye in Various Media", Int. J. Electrochem. Sci, vol. 9, pp. 1738-1746, 2014.

[۱۵] H. R. Ebrahimi & M. Modrek, "Photocatalytic Decomposition of Methyl Red Dye by Using Nanosized Zinc Oxide Deposited on Glass Beads in Various pH and Various Atmosphere", Journal of Chemistry, Hindawi Publishing Corporation, Article ID 151034, pp. 5, 2013.

واکنش‌های فتوکاتالیزوری افزایش یافته و گونه‌های رادیکالی بیشتری تولید می‌شود. گونه‌های رادیکالی تولید شده در این فرآیند به آلاندیهی رنگی رودامین B حمله کرده و آن را تخریب می‌کنند. درنتیجه، بازده فرآیند فتوکاتالیزوری افزایش می‌یابد. خواص فتوکاتالیزوری ZnO - CuO با انرژی شکاف باند ۲/۴۳ ev بهتر از ZnO و CuO و کامپوزیت ZnO - CuO و کامپوزیت ZnO و CuO با انرژی شکاف باند برابر با ۳/۲۱ ev است. ارزیابی نتایج به دست آمده از آزمون ضد باکتریایی نانو مواد سترن شده ZnO - CuO و کامپوزیت ZnO و CuO و کامپوزیت ZnO - CuO بهترین فعالیت ضد باکتریایی را با منطقه شفاف ۲/۱۵ میلی‌متر در برابر استافیلوکوکوس و ۲/۲۵ میلی‌متر در برابر اشرشیاکلی دارد.

۵- مراجع

[۱] S. Banerjee, S. C. Pillai, P. Falaras, K. E. O'Shea, J. A. Byrne & D. D. Dionysiou, "New insights into the mechanism of visible light photocatalysis", J. Phys .Chem. Lett. vol. 5, pp. 2543–255, 2014.

[۲] T. Tachikawa, M. Fujitsuka, & T. Majima, "Mechanistic Insight into the TiO₂ Photocatalytic Reactions: Design of New Photocatalysts", J. Physic. Chem. C, vol. 111, pp. 5259–5275, 2007.

[۳] H. R. Ebrahimi, M. Modrek & S. Joohari, "Photodecolorization of direct yellow 86 (2-Solamine) by using zinc oxide nanosized deposited on glass beads", Indian Journal of Science and Technology, vol. 5, pp. 1828-1830, 2012.

[۴] H. R. Ebrahimi, M. Modrek & S. Joohari, "Photodegradation of methyl orange dye by using zinc oxide nano-sized catalysts on glass granules at various pH values and different atmosphere", Fresenius Environmental Bulletin, vol. 23, pp. 1155-1158, 2014.

[۵] A. Muzakki, H. Shabranay & S. Rosari, "Synthesis of ZnO/CuO and TiO₂/CuO nanocomposites for light and ultrasound assisted degradation of a textile dye in aqueous solution", AIP Conference Proceedings, vol. 1725, pp. 020051, 2016.

[۶] م. امساکی، س. ع. حسن‌زاده تبریزی و ع. صفارتلوری، "سترن و بررسی خواص فتوکاتالیستی نانوذرات ZnO در اثر افزودن

- [24] H. P. Klong & L. E. Alexande, "Xray diffraction procedures for crystalline and amorphous materials", Wiley, New York, 1944.
- [25] N. Gobadi, "Band gap determination using absorption spectrum fitting procedure", International Nano Letters, vol. 3, pp. 2-4, 2013.
- [26] F. B. Firouzabadi, M. Noori, Y. Edalatpanah & M. Mirhosseini, "ZnO nanoparticle suspensions containing citric acid as antimicrobial to control *Listeria monocytogenes*, *Escherichia coli*", *Staphylococcus aureus* and *Bacillus cereus* in mango juice. Food Control, vol. 42, pp. 310-314, 2014.
- [27] M. B. Fisher, D. A. Keane, P. Fernandez-Ibanez, J. Colreavy, S. J. Hinder, K. G. McGuigan & S. C. Pillai, "Nitrogen and copper doped solar light active TiO₂ photocatalysts for water decontamination", Appl. Catal. B, vol. 130–131, pp. 8–13, 2013.
- [28] M. T. Qamar, M. Aslam, I. M. I. Ismail, N. Salah & A. Hameed, "Synthesis, Characterization and Sunlight Mediated Photocatalytic Activity of CuO Coated ZnO for the Removal of Nitrophenols", ACS Appl. Mater. Interfaces, vol. 7, pp. 8757, 2015.
- [29] B. Li & Y. Wang, "Facile synthesis and photocatalytic activity of ZnO-CuO nanocomposite", Superlattices Microstruc, vol. 47, pp. 615-623, 2010.
- [30] A. Sirelkhatim, S. Mahmud, A. Seen, N. H. M. Kaus, L. C. Ann, S. K. M. Bakhori, H. Hasan & D. Mohamad, "Review on Zinc Oxide Nanoparticles: Antibacterial Activity and Toxicity Mechanism", Nano-Micro Lett, vol. 7, pp. 219, 2015.
- [31] G. Ma, X. Liang, L. Li, R. Qiao, D. Jiang, Y. Ding & H. Chen, "Cu-doped zinc oxide and its polythiophene composites: Preparation and antibacterial properties", Chemosphere, vol. 100, pp. 146–151, 2014.
- [15] D. B. Hamal & K. J. Klabunde, "Synthesis, characterization, and visible light activity of new nanoparticle photocatalysts based on silver, carbon, and sulfur-doped TiO₂", J. Colloid Interface Sci.
- [16] T. Ardiansyah, A. Alfred & S. Rosari, "Sol-gel synthesis of ternary CuO/TiO₂/ZnO nanocomposites for enhanced photocatalytic performance under UV and visible light irradiation", Journal of Photochemistry and Photobiology A: Chemistry. In Press.
- [17] F. Wang, H. Li, Zh. Yuan, Y. Sun, F. Chang, H. Deng, L. Xie & H. Li, "A highly sensitive gas sensor based on CuO nanoparticles synthetized via a sol–gel method", RSC Adv. vol. 23, pp. 79343-79349, 2016.
- [18] P. N. Asrami, S. A. Mozaffari, M. S. Tehrani & P. A. Azar, "A novel impedimetric glucose biosensor based on immobilized glucose oxidase on a CuO-Chitosan nanobiocomposite modified FTO electrode", Int. J. Biol. Macromolecules, vol. 118, pp. 649-660, 2018.
- [19] Q. Zhang, K. Zhang, D. Xu, G. Yang & Sh. Yang, "CuO nanostructures: Synthesis, characterization, growth mechanisms, fundamental properties, and applications", Prog. Mater. Sci, vol. 60, pp. 208-337, 2014.
- [20] S. Rangabhashiyam & P. Balasubramanian, "Characteristics, performances, equilibrium and kinetic modeling aspects of heavy metal removal using algae", Bioresour. Technol. Rep. vol. 5, pp. 261-279, 2019.
- [21] N. Yahya, F. Aziz, N. A. Jamaludin, M. A. Mutalib, A. F. Ismail, W. N. W. Salleh, J. Jaafar, N. Yusof & N. A. Ludin, "A review of integrated photocatalyst adsorbents for wastewater treatment", Journal of environmental chemical engineering, vol. 6, no. 6, pp. 7411-7425, 2018.
- [22] R. M. Allaf & L. J. Hope-Weeks, "Synthesis of Nanocomposite Aerogels by the Sol-Gel Route", Journal of Nanomaterials, vol. 49, 2014.
- [23] M. Giahi, N. Badalpoor, Habii & H. Taghavi, "Synthesis of CuO/ZnO Nanoparticles and Their Application for Photocatalytic Degradation of Lidocaine HCl by the Trial-and-error and Taguchi Methods Bull", Korean Chem. Soc, vol. 34, pp. 2176, 2013.

۶- پی نوشت

- [1] Band Gap
- [2] Nutrient Agar
- [3] Staphylococcus Aureus
- [4] Escherichia Coli
- [5] Tauc Plots